

Fig. 1A

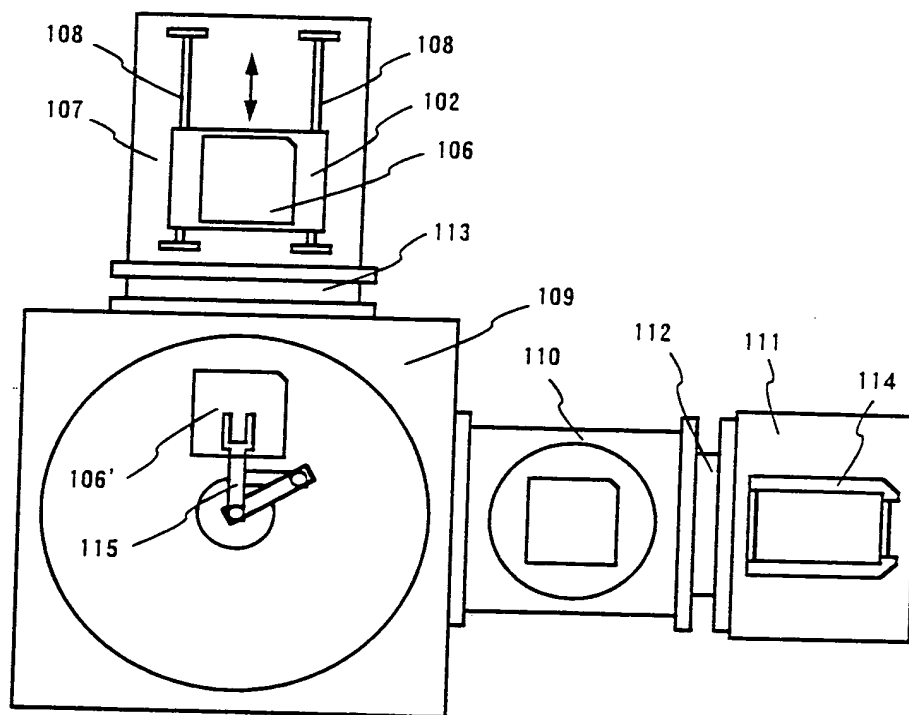


Fig. 1B

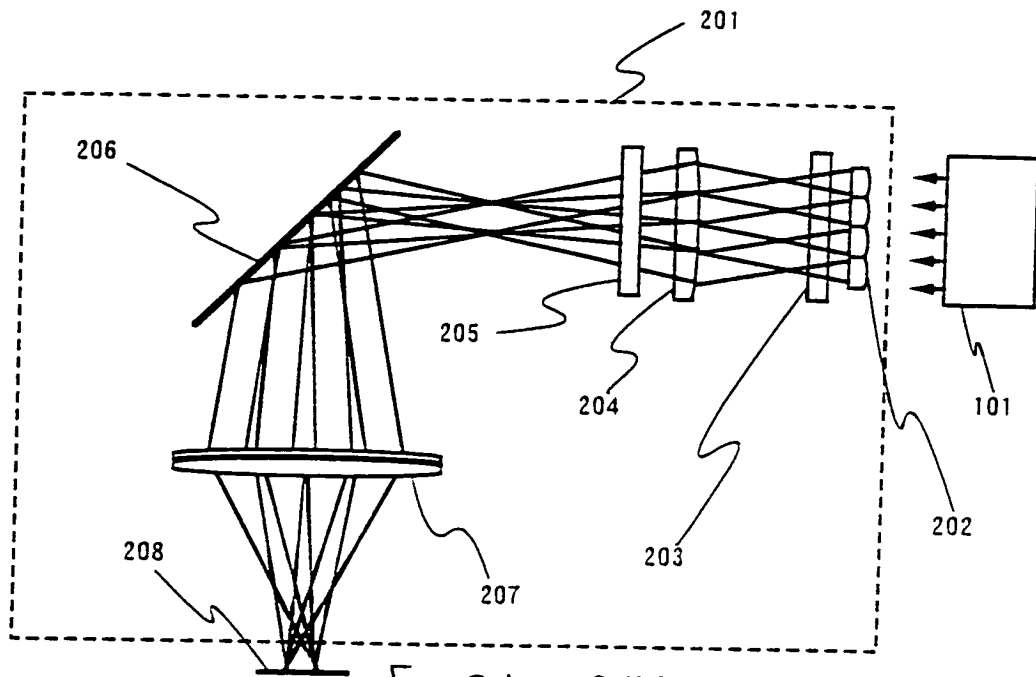


Fig. 2A SIDE VIEW

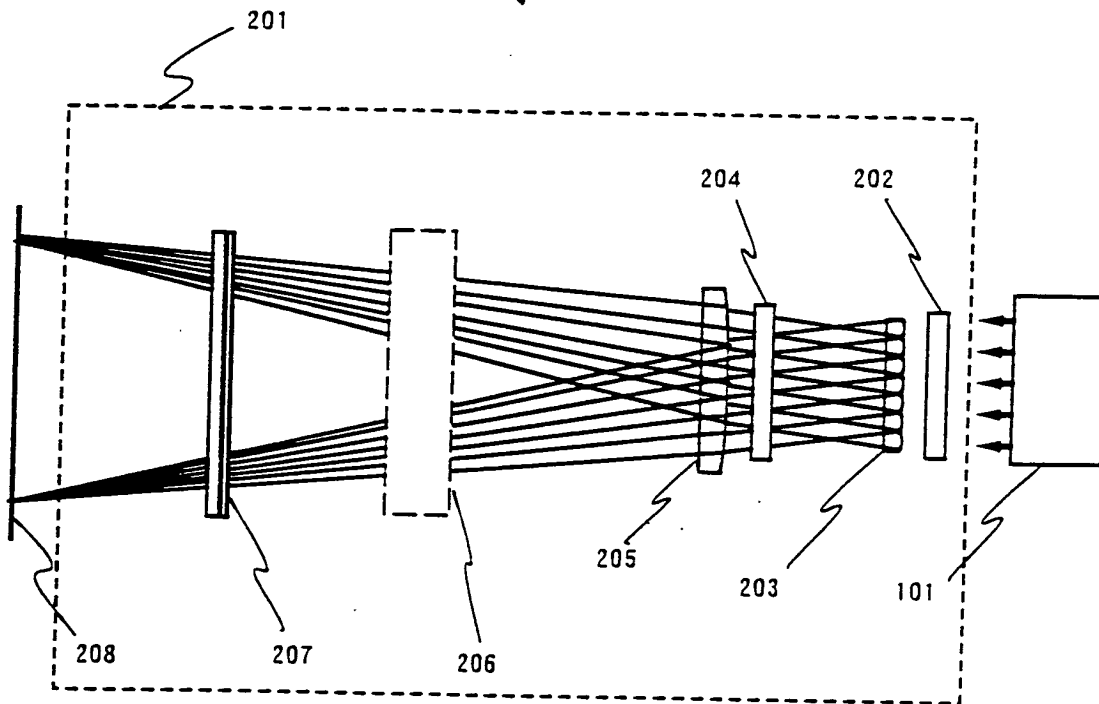
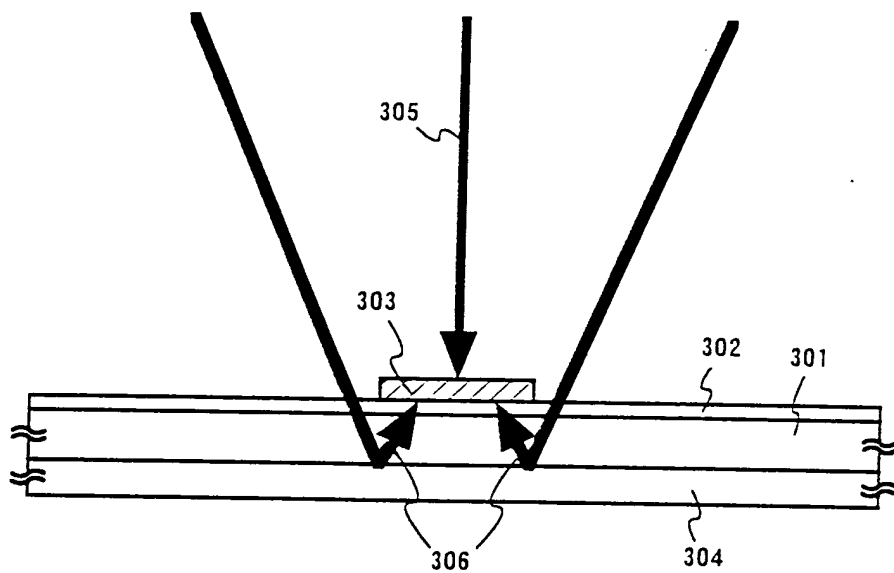
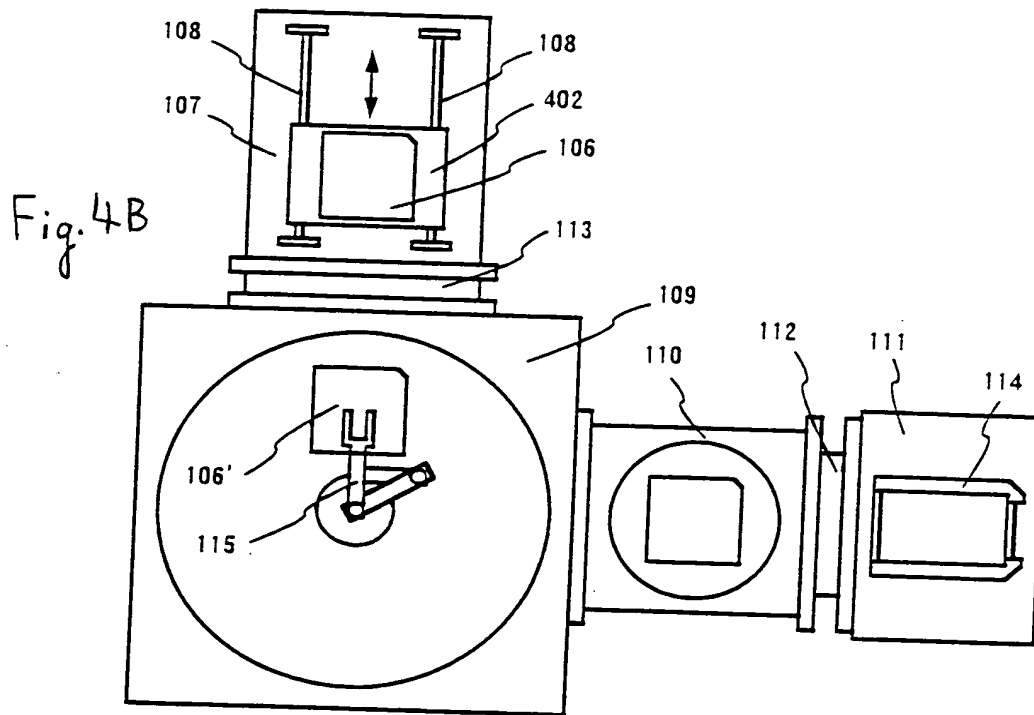
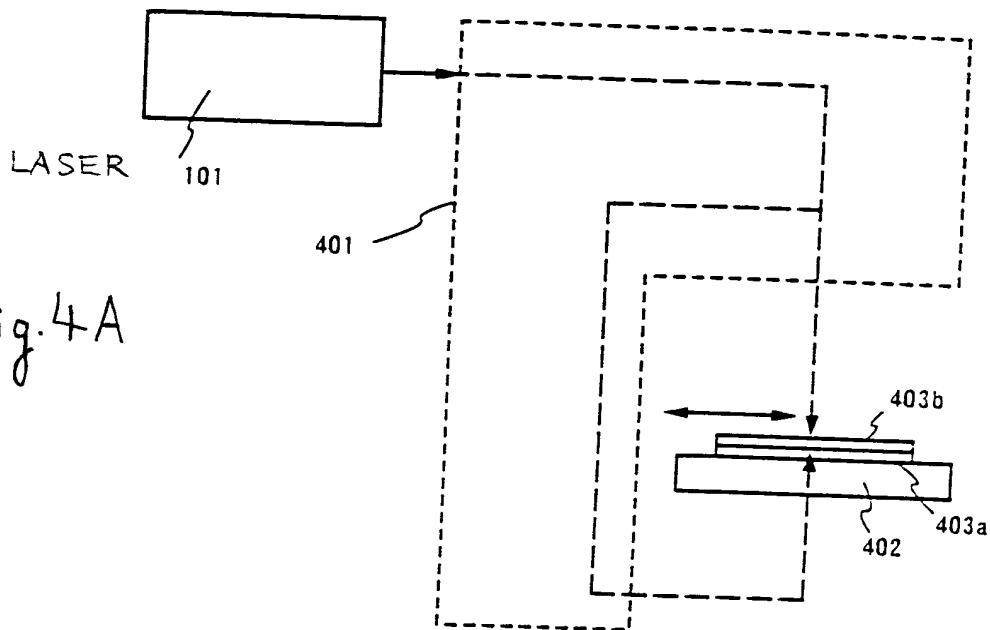


Fig. 2B TOP VIEW

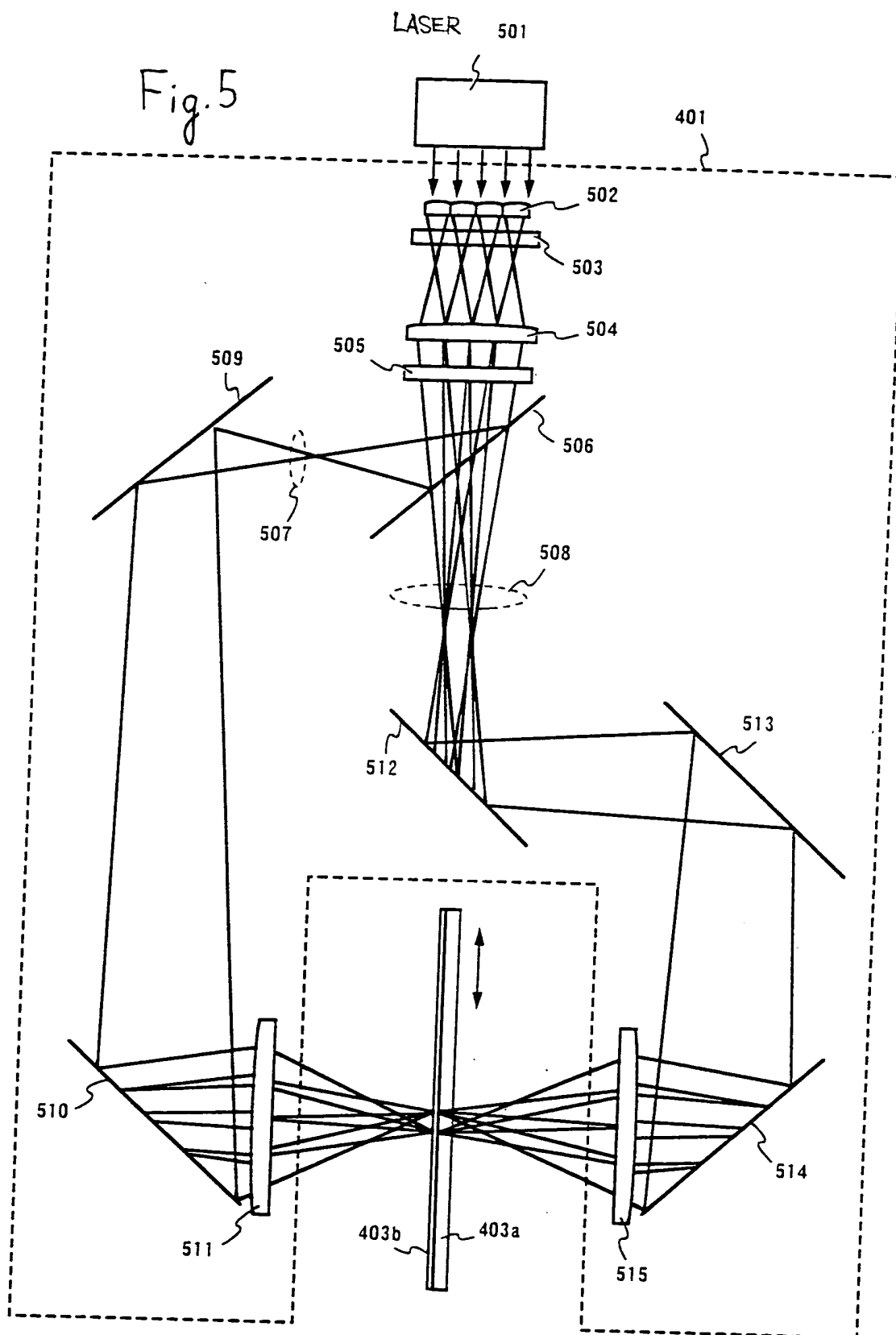
Fig. 3





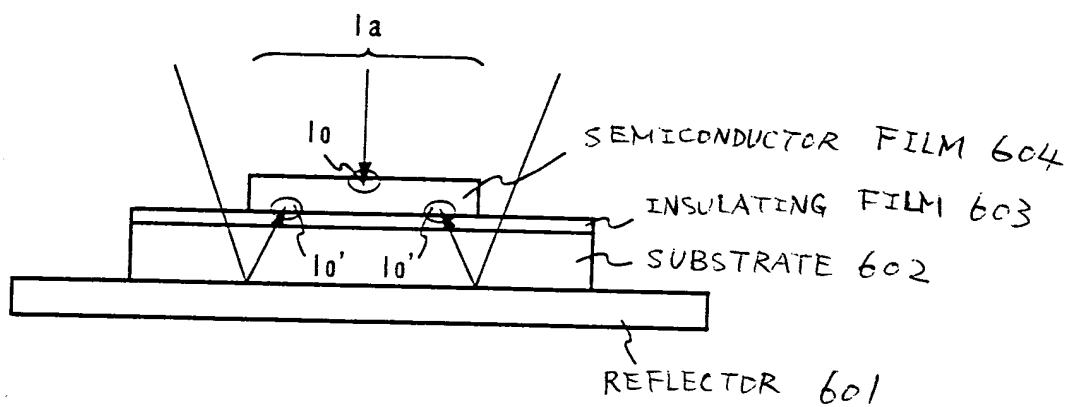
[illegible]

Fig. 5



09640521.081700

Fig. 6



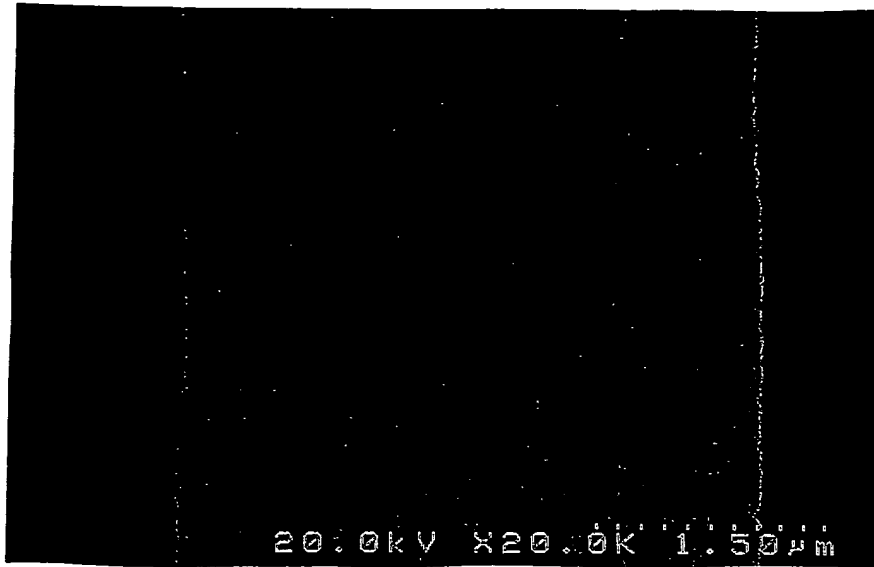


Fig. 7A



Fig. 7B

002180-12504950



Fig. 8A

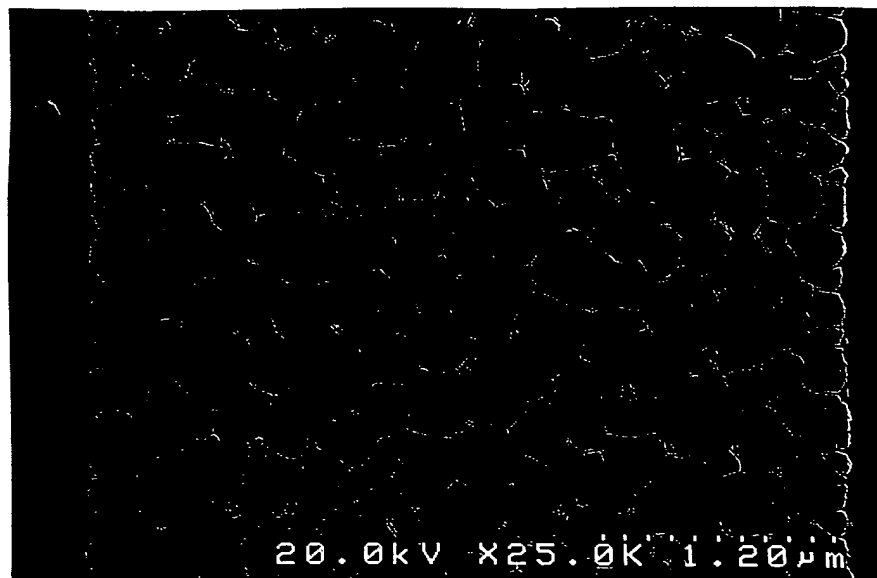


Fig. 8B

09640521-081700



Fig.9

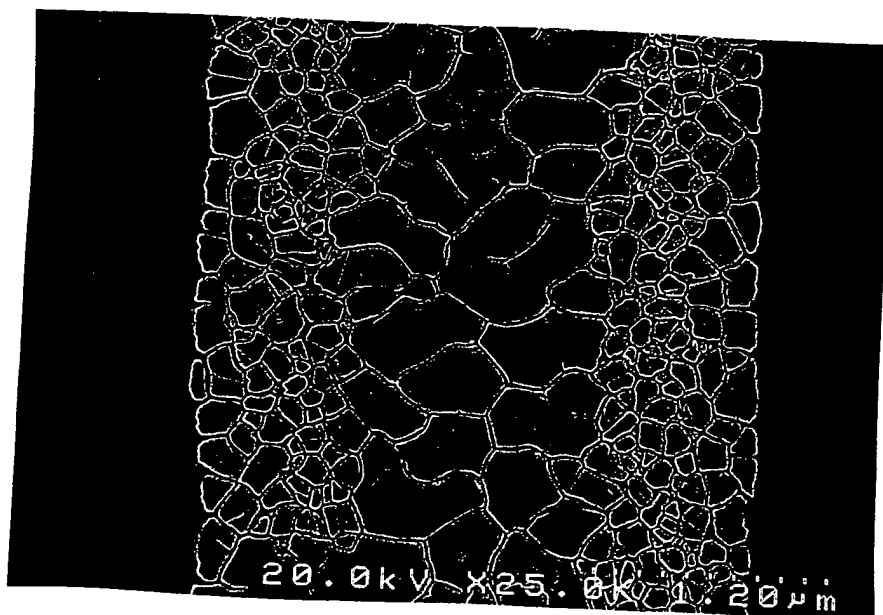


Fig.10

002780" T2504960

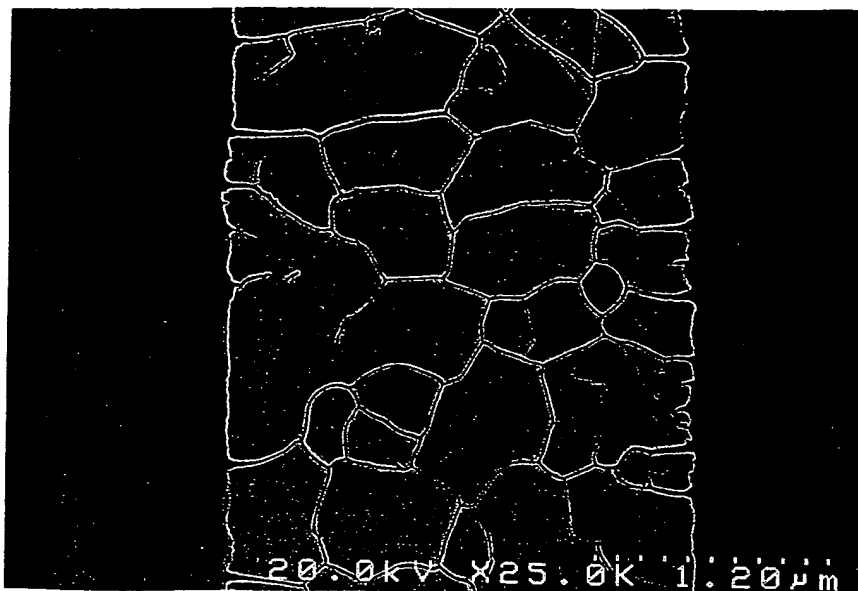


Fig. 11

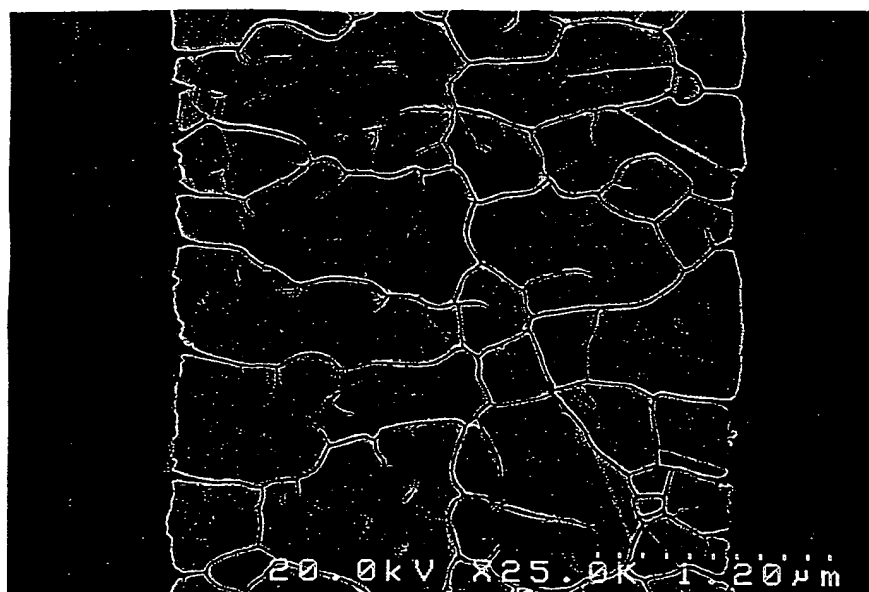


Fig. 12

0025072504960

Fig. 13A

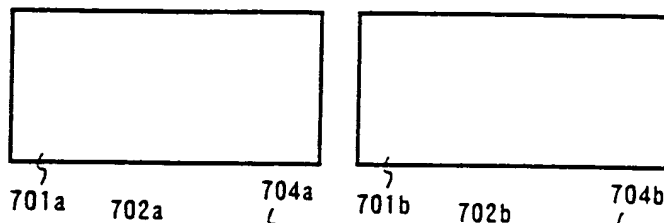


Fig. 13B

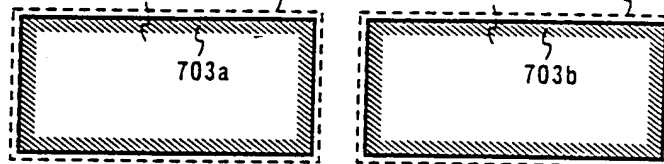


Fig. 13C

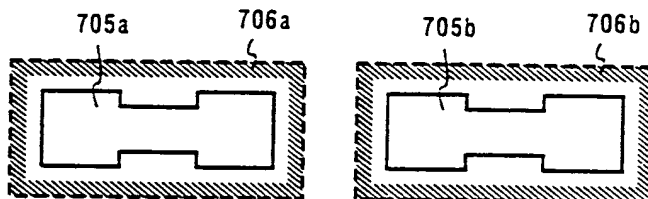


Fig. 13D

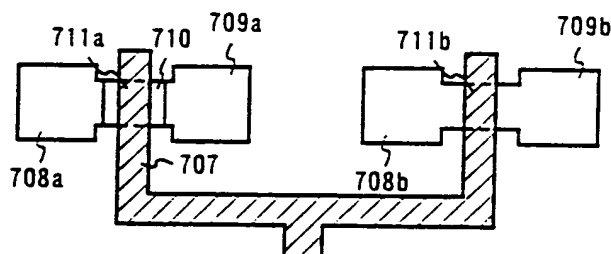
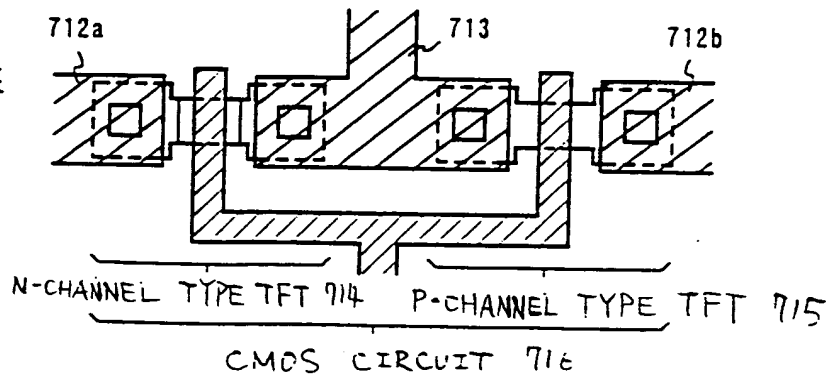


Fig. 13E



09640521.081700

Fig. 14A

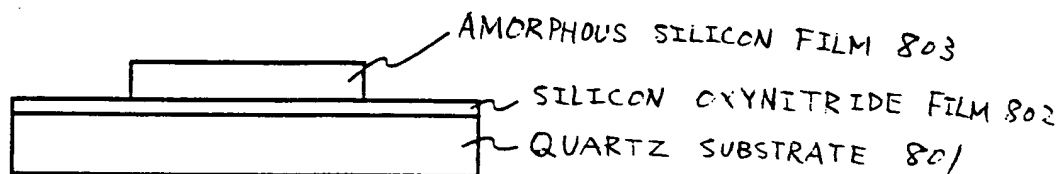
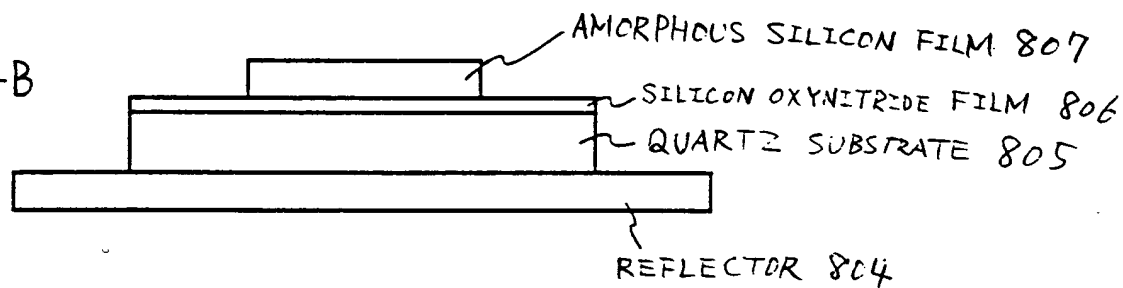


Fig. 14B



09640521-081700

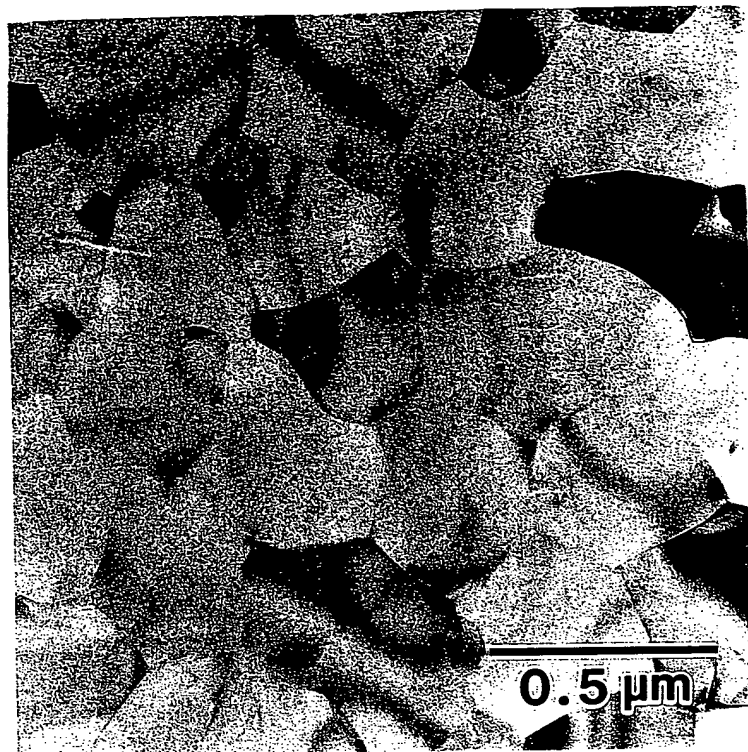


Fig. 15A

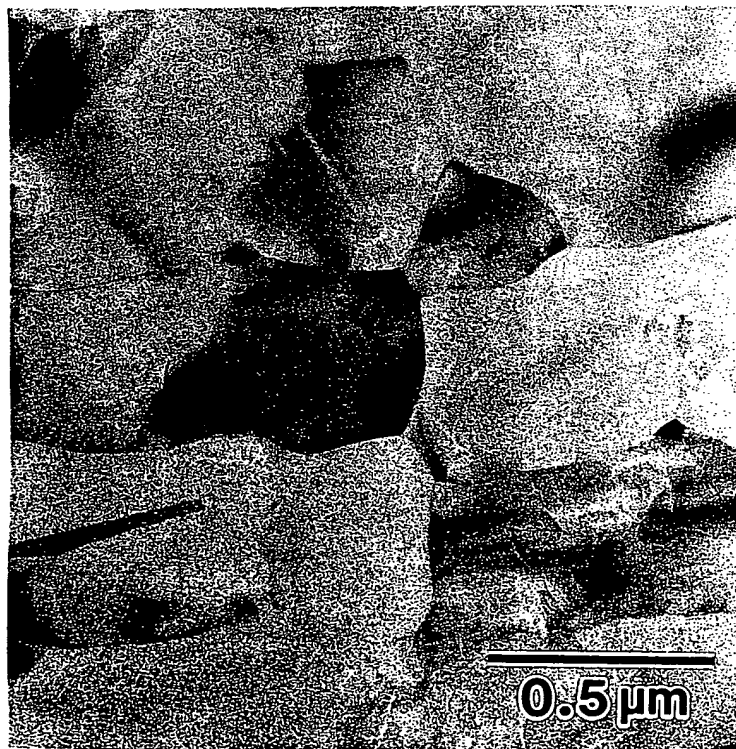
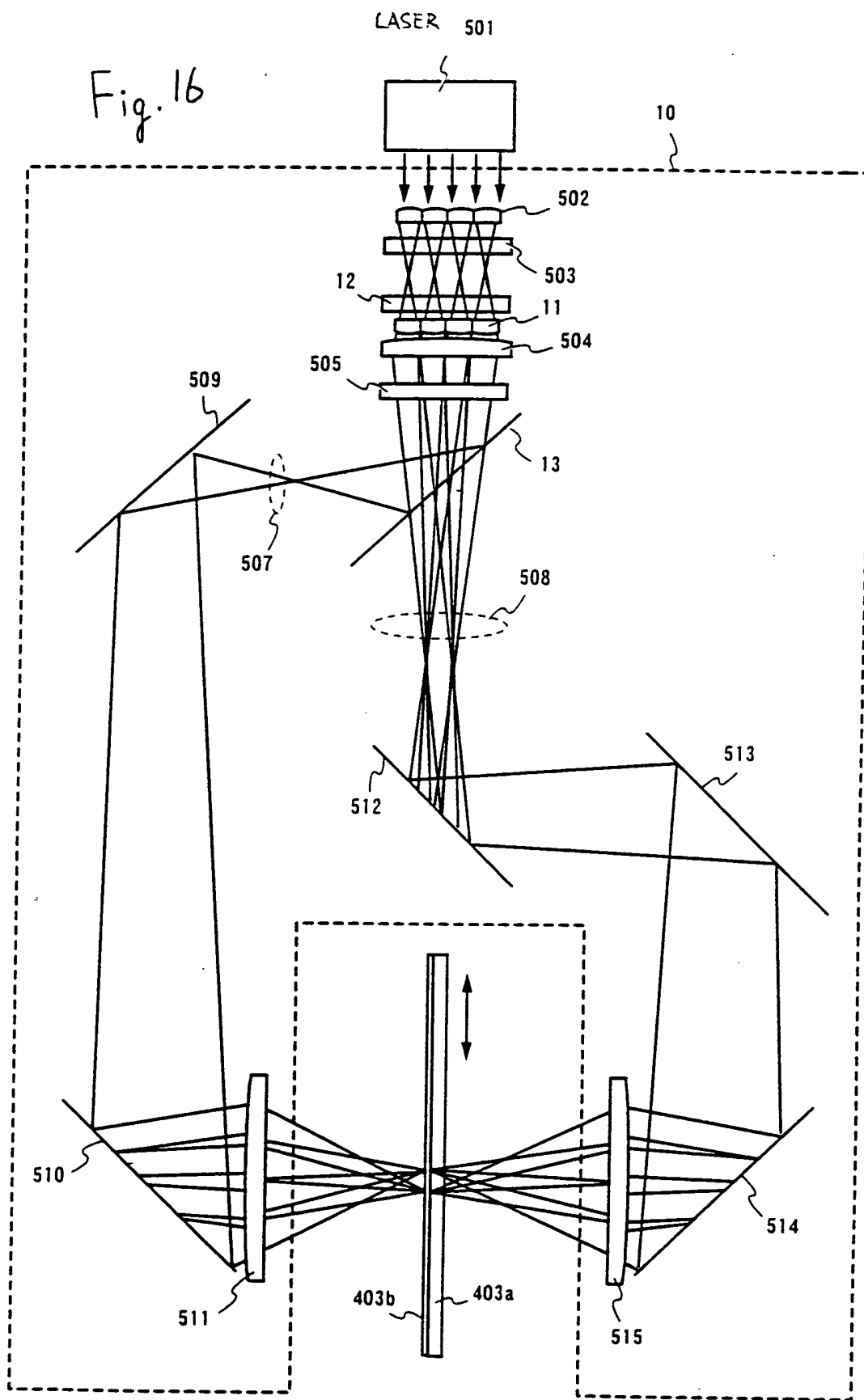


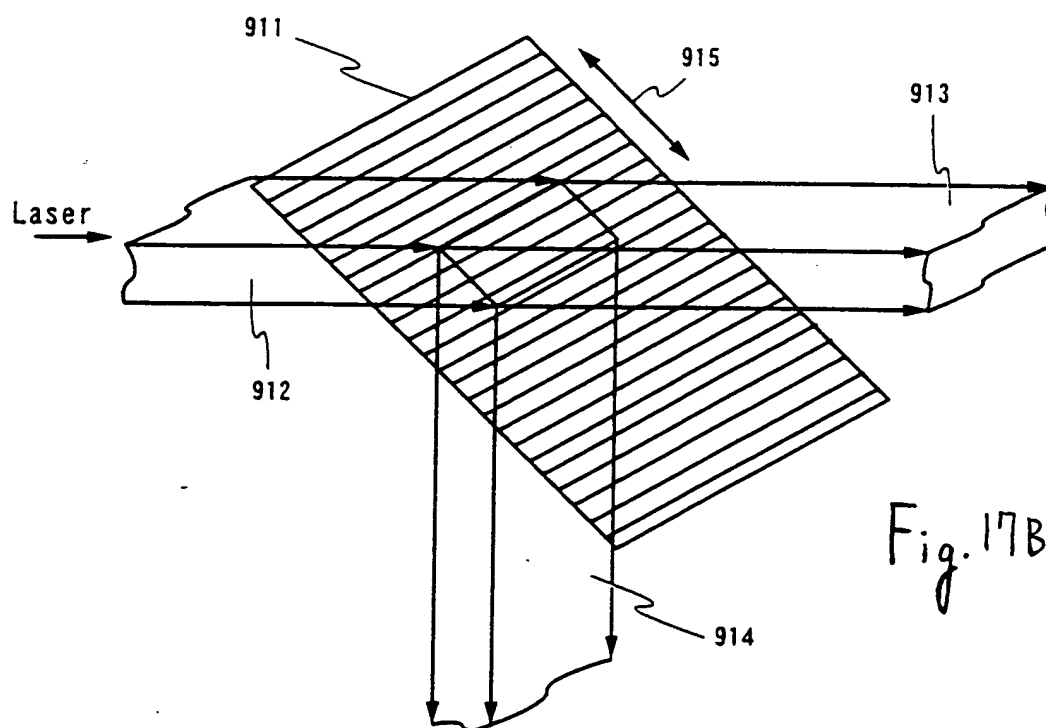
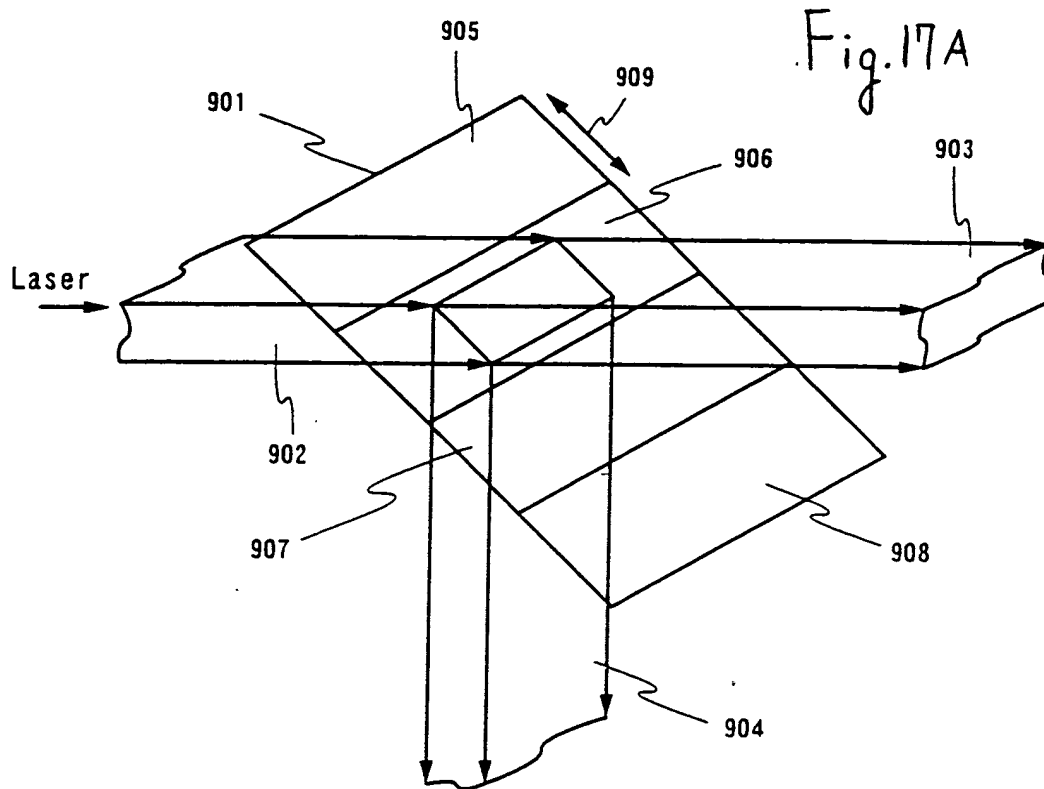
Fig. 15B

0040521 081700

Fig. 16



004780" 72504960



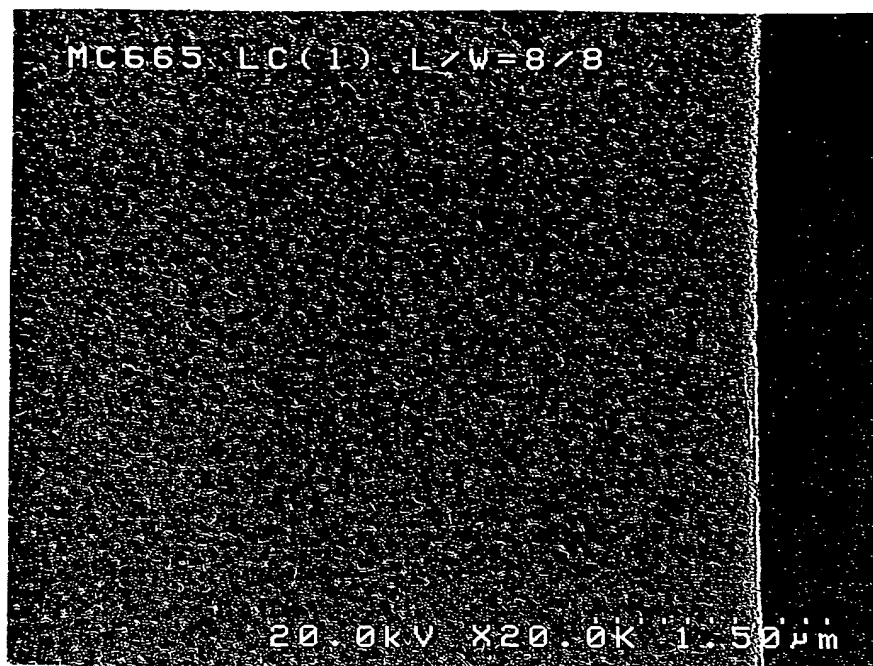


Fig. 18A

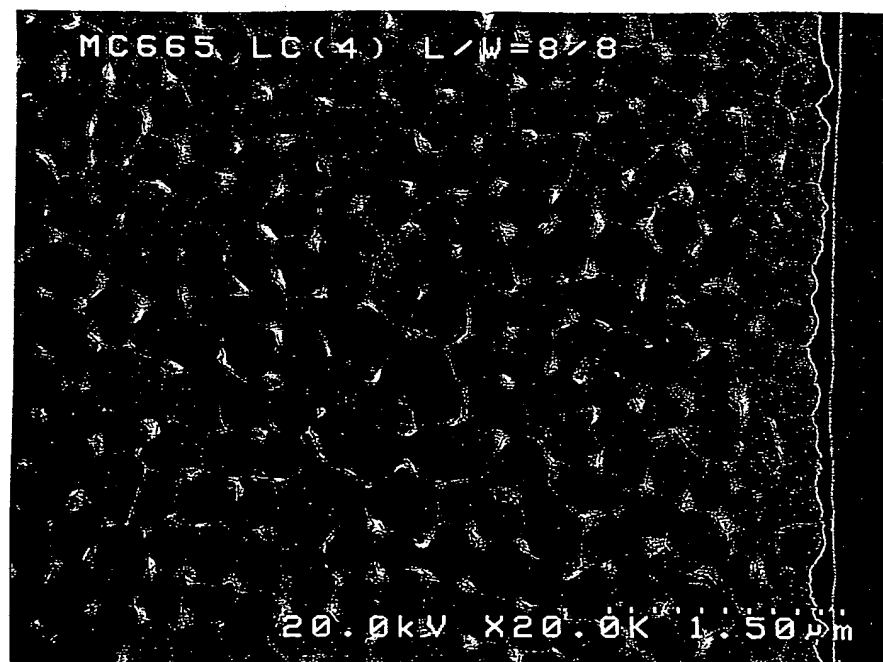


Fig. 18B

00640521-081700

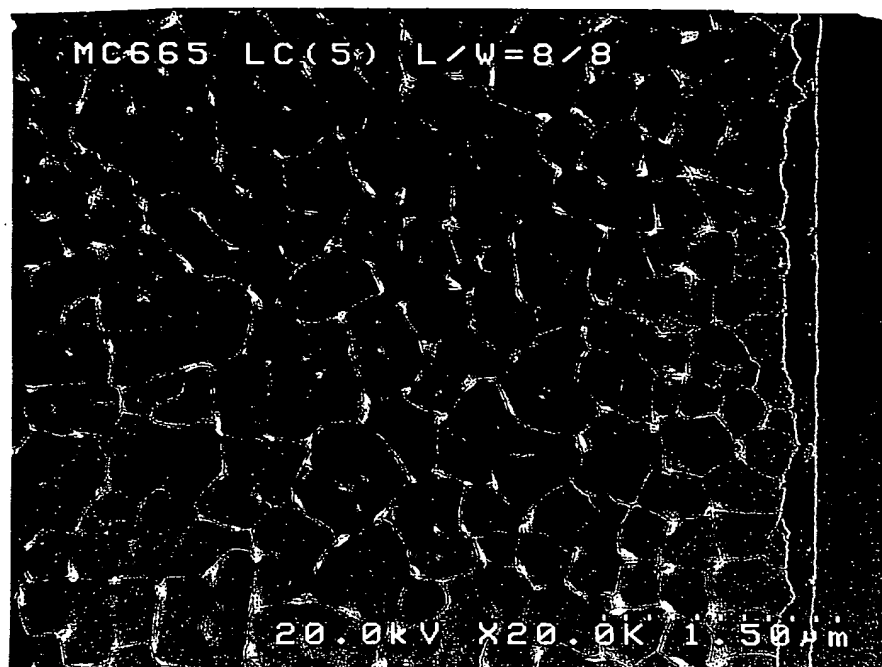


Fig. 19A

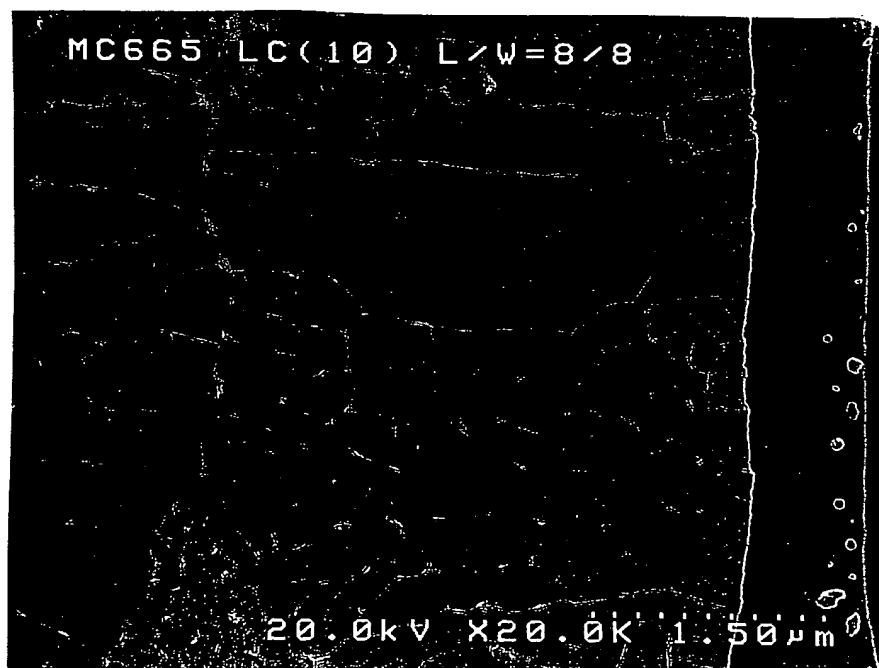


Fig. 19B

00780" F2504960

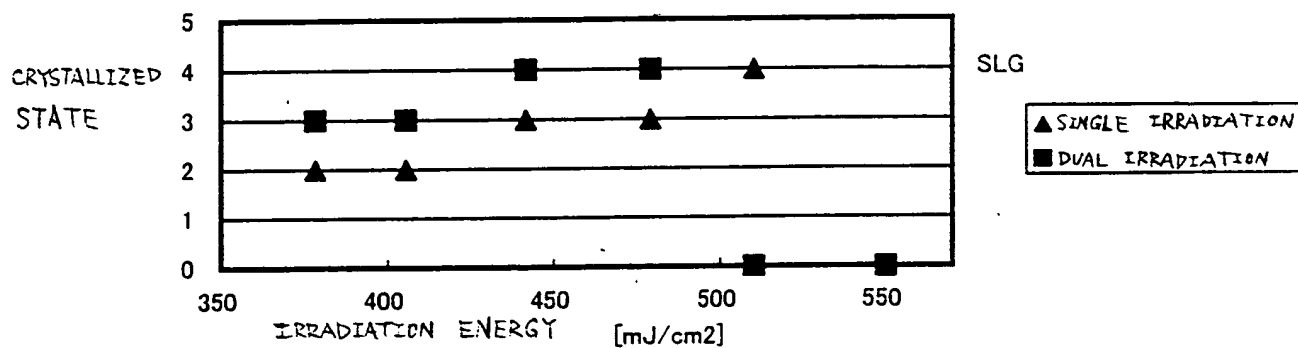


Fig. 20

IRRADIATION ENERGY AND
CRYSTALLIZED STATE

002780-12504950

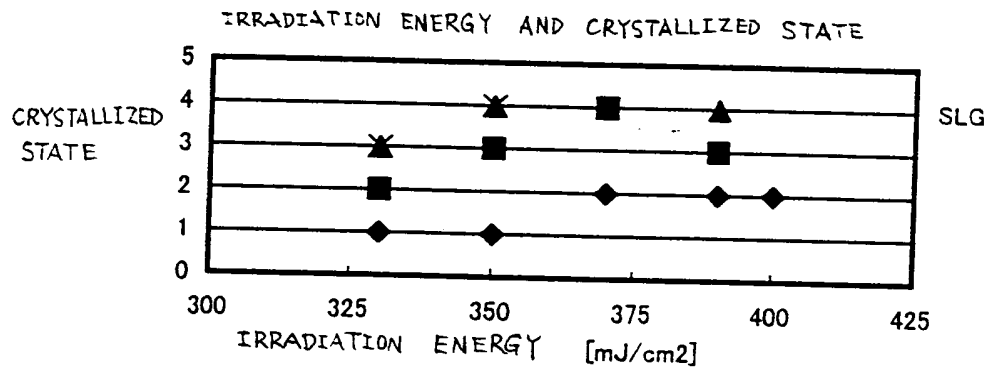


Fig. 21A

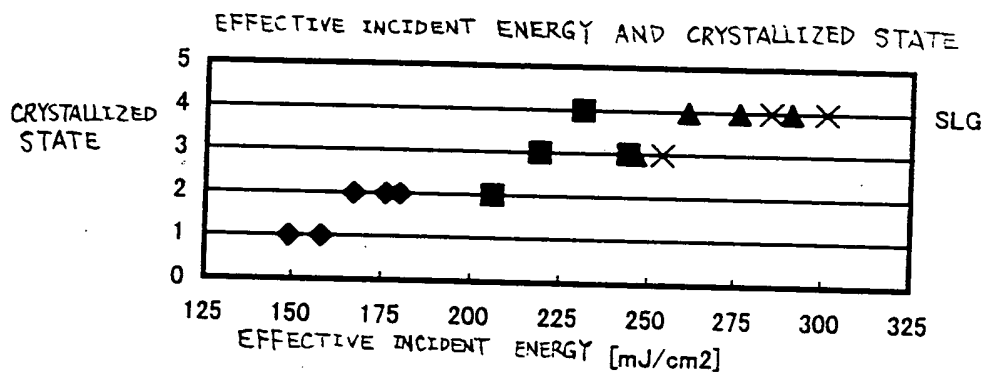


Fig. 21B